# Изменение состава и морфологии пленок $Cd_xPb_{1-x}S$ при предварительном температурном воздействии на раствор ацетата свинца

Л. Н. Маскаева, В. Ф. Марков, И. М. Морозова, Н. С. Полюдова

Установлено влияние предварительного нагрева до 368 K и охлаждения до 275 K водного раствора ацетата свинца, используемого в составе реакционной смеси, на кинетику гидрохимического осаждения PbS, состав и морфологию пленок твердых растворов замещения в системе PbS – CdS.

### Введение

Интерес к твердым растворам замещения сульфидов металлов объясняется возможностью плавного варьирования их функциональных свойств за счет регулирования ширины запрещенной зоны. К числу перспективных материалов сенсорной техники относятся твердые растворы  $\mathrm{Cd}_x\mathrm{Pb}_{1-x}\mathrm{S}$ . На их основе могут быть изготовлены фотоприемники и фотоприемные устройства для систем контроля и автоматизации технологических процессов в различных областях техники, а также приборы с зарядной связью (ПЗС), совмещающие в себе функции детектирования излучения и процесс первичной обработки сигнала.

Индивидуальные сульфиды свинца и кадмия кристаллизуются в структурах различного типа: сульфид кадмия формирует кубическую решетку сфалерита B3 (пр. гр. F43m), его высокотемпературная модификация имеет гексагональную решетку вюрцита B4 (пр. гр.  $P6_3mc$ ), а сульфид свинца решетку B1 (тип NaCl, пр. гр. Fm3m). Различия ионных радиусов металлов составляют около 24% [1]. Поэтому в системе CdS — PbS существует возможность образования лишь ограниченных твердых растворов замещения.

Известно достаточно большое число работ, экспериментально доказывающих формирование твердых растворов  $Cd_x Pb_{1-x} S$  на основе сульфида свинца. Как правило, в них использовали высокотемпературные методы синтеза [2, 3]. Диаграммы

фазовых равновесий в этой системе изучены довольно подробно [2, 4]. Характерным для них является незначительная растворимость сульфида кадмия в сульфиде свинца при низких температурах. Предельное содержание CdS в кристаллах галенита при 523 K по данным [5] составляет  $\sim$ 0,009 мол. %. Это свидетельствует о практическом отсутствии растворимости CdS в галените при температурах ниже 373 K. Однако использование в качестве метода синтеза гидрохимического осаждения позволяет получить метастабильные пересыщенные твердые растворы замещения в более широком диапазоне составов, чем следует из высокотемпературных диаграмм состояния [6-8].

В работе Китаева с сотрудниками [6] при 353 К были получены химически осажденные фоточувствительные пленки твердых растворов  $\mathrm{Cd}_x\mathrm{Pb}_{1-x}\mathrm{S}$ , содержание сульфида кадмия в которых находилось от 5,5 до 10,6 мол. %. В работе [7] нами описано получение пленок твердых растворов  $\mathrm{Cd}_x\mathrm{Pb}_{1-x}\mathrm{S}$ , содержащих до 16 мол. % CdS. В исследовании [8] установлены основные физико-химические закономерности гидрохимического осаждения твердых растворов  $\mathrm{Cd}_x\mathrm{Pb}_{1-x}\mathrm{S}$  широкого диапазона составов с рекомендациями по их прогнозируемому синтезу. Однако до последнего времени проблема воспроизводимости их состава и свойств остается одной из актуальных.

Известно, что водные растворы солей после предварительного нагрева или охлаждения могут

временно менять свои физико-химические свойства (рН, проводимость и т.д.), то есть обладают своеобразной "памятью" к термическому воздействию [9]. Поэтому можно ожидать, что температурное воздействие на водные растворы компонентов реакционной смеси, используемых при гидрохимическом синтезе сульфидов металлов и твердых растворов на их основе, может оказывать воздействие на состав, морфологию и свойства пересыщенных твердых растворов  $Cd_vPb_{1-v}S$ .

В работе [10] было установлено влияние предварительной температурной обработки раствора соли азотнокислого свинца на кинетику осаждения, структуру, электрофизические и сенсорные свойства пленок PbS. Синтез пленок проводился при 298 K как с использованием предварительно охлажденного до 275 К водного раствора соли  $Pb(NO_3)_2$ , так и после его предварительного нагрева до 369 К с последующим приведением их к температуре синтеза. Было установлено, что результаты температурных воздействий сохраняются в течение суток, оказывая значительное влияние на процесс гидрохимического осаждения слоев PbS. Поэтому можно предположить, что использование водного раствора соли свинца, в частности, ацетата, подвергнутого предварительному нагреву или охлаждению, окажет воздействие и на химическое осаждение твердых растворов в системе PbS – CdS.

Цель работы — изучение влияния предварительной температурной обработки раствора ацетата свинца на кинетику химического осаждения PbS, а также на состав и морфологию формируемых на его основе пленок твердых растворов  $Cd_xPb_{1-x}S$ .

## Экспериментальная часть

Для гидрохимического синтеза твердых растворов  $Cd_x Pb_{1-x} S$  была выбрана реакционная смесь, содержащая ацетат свинца, хлорид кадмия, цитрат натрия, гидроксид аммония и тиомочевину. При этом цитрат-ионы выступали комплексообразующими агентами для свинца, а аммиак исполнял роль лиганда для кадмия и одновременно обеспечивал щелочную реакцию среды. Следует сказать, что образование свинцом и кадмием прочных комплексных соединений является необходимым условием формирования пленок их сульфидов. Для определения условий осаждения твердых растворов  $Cd_xPb_{1-x}S$  в соответствии с методикой, описанной в [11], были проведены термодинамические расчеты и определены условия образования индивидуальных сульфидов свинца и кадмия, а также найдена область их совместного осаждения в используемой реакционной смеси. Установлено, что совместное осаждение PbS и CdS возможно при pH > 11. Повышение температуры до 303 K несколько расширяет диапазон pH совместного осаждения PbS и CdS.

Гидрохимическое соосаждение сульфидов свинца и кадмия проводилось в кварцевых реакторах объемом 50 мл при температуре  $303 \pm 0.5$  K на ситалловые подложки (марка CT-32) при следующих концентрациях компонентов реакционной смеси: 0.02 M ацетата свинца, 0-0.06 M хлорида кадмия, 3.0 M водного раствора аммиака, 0.1 M цитрата натрия и 0.6 M тиомочевины. Длительность процесса осаждения пленок варьировали от 3 до 23 часов.

Кристаллическую структуру полученных слоев исследовали методом рентгеновской дифракции в  $CuK_{\alpha 1,2}$ -излучении на дифрактометрах ДРОН-3, ДРОН-УМ1. Съемку проводили в интервале углов  $2\theta$  от  $10^\circ$  до  $100^\circ$  в режиме пошагового сканирования  $0.02^\circ$  и временем накопления сигнала в точке 5 с.

Рентгено-дисперсионный микроанализ проводили на микроанализаторе Superzond JSXA–733с (Япония), оснащенном энергодисперсионным спектрометром AN 10/85s (Великобритания) при ускоряющем напряжении 20 кВ и токе зонда 5·10<sup>-9</sup> А с использованием стандартных эталонов фирмы Link (Англия). Анализируемая площадь образца при каждом замере составляла 200–150 мкм. Электронномикроскопические исследования пленок выполнены с помощью растрового электронного микроскопа Scanning Electron Microscope JEOL JUS–5900 LV.

Для определения толщины пленок использовался оптический метод.

Изучение воздействия предварительной температурной обработки раствора ацетата свинца на кинетику осаждения PbS, структуру и морфологию совместно осажденных пленок сульфидов свинца и кадмия заключалось как в оценке влияния предварительного нагрева исходного 0,02 М водного раствора  $Pb(CH_3COO)_2$  до  $368 \pm 1$  K в закрытом объеме и последующей выдержке при этой температуре в течение 30 минут (раствор I), так и его предварительном охлаждении до 275 ± 1 K и выдержке в пределах указанного времени (раствор II). В последующем оба исследуемых раствора приводили к температуре 298 К, а затем использовали в составе реакционной смеси. Параллельно ставили серию контрольных опытов, в которых использовали раствор соли свинца, хранившийся не менее трех суток при 298 К (раствор III).

Кинетические закономерности превращения соли свинца в сульфид изучали методом анализа остаточной концентрации металла в растворе трилонометрическим титрованием.

#### Результаты и их обсуждение

Кинетические кривые процесса образования твердой фазы сульфида свинца с использованием в составе реакционной ванны водного раствора ацетата свинца с различной температурной предысторией представлены на рис. 1. Из рисунка видно, что процесс образования сульфида свинца идет интенсивнее в реакционной смеси, содержащей предварительно нагретый раствор соли свинца, а медленнее — при использовании предварительно охлажденного раствора соли. Обработка кинетических кривых позволила установить, что реакция образования PbS имеет первый порядок. Величина константы скорости реакции при использовании растворов I, II, III соответственно составила 2,41·10<sup>-3</sup>, 1,49·10<sup>-3</sup> 1,94·10<sup>-3</sup> с<sup>-1</sup>.

Полученные результаты требуют своего объяснения. Наряду с базисным рядом простых гидроксокомплексов свинца в реакционной смеси присутствует также большой круг соединений полиядерного состава, являющихся следствием реакций конденсации [12]. Образующиеся ди-, три-, тетрамеры, а также более сложные полиядерные структуры переходят друг в друга при изменении внешних условий, создавая множество равновесных состояний. В соответствии с принципом Ле-Шателье основные изменения в растворе ацетата свинца можно описать следующими происходящими процессами: диссоциации полиядерных структур (преобладает при повышении температуры) и ассоциации гидроксокомплексов металла (происходит при снижении температуры) [13]. Взаимодействие гидратированных ионов между собой за счет

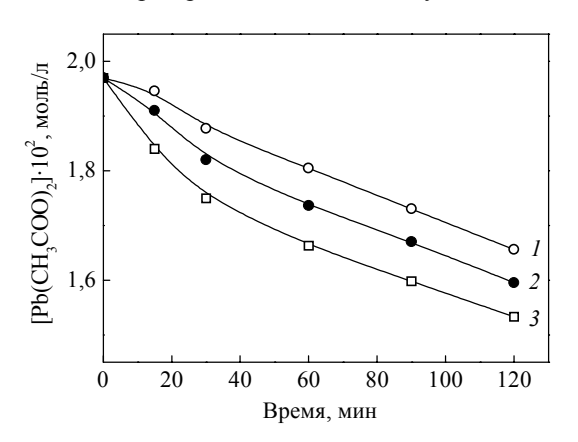


Рис. 1. Кинетические кривые осаждения PbS из реакционных смесей, содержащих водный раствор соли свинца, подвергнутый предварительному охлаждению до 275 К (1), нагреву до 368 К (3), выдержанный при 298 К (2). Состав реакционной ванны, моль/л: [Pb(CH<sub>3</sub>COO)<sub>2</sub>] = 0,0197, [NH<sub>4</sub>OH]= 3,0, [Na<sub>3</sub>C<sub>6</sub>H<sub>5</sub>O<sub>7</sub>] = 0,1, [CS(NH<sub>2</sub>)<sub>2</sub>] = 0,6. Температура синтеза 303 К.

сил электростатической и ван-дер-ваальсовой природы будет способствовать также их конденсации вплоть до образования коллоидно-мицеллярных частиц. В то же время полиядерные комплексы и особенно многоатомные коллоидно-мицелярные образования, имея сложное строение и пространственную структуру, не обладают способностью к быстрой трансформации из-за низкой скорости релаксационных процессов. Поэтому структура и состав новых образований, возникших в результате температурного воздействия, будет релаксировать на протяжении достаточно длительного времени, обеспечивая тем самым водному раствору соли свинца так называемую температурную "память". Представление полученных кинетических данных в аррениусовских координатах ( $\lg k - 1/T$ ) позволило оценить энергию активации этих процессов, которая составила 5,2 кДж/моль.

Установленное влияние предварительной температурной обработки водного раствора соли свинца на кинетику осаждения PbS может оказать определяющее воздействие на состав, структуру и морфологию твердых растворов замещения на его основе —  $\operatorname{Cd}_x\operatorname{Pb}_{1-x}\operatorname{S}$ . Учитывая экстремальный характер зависимости содержания CdS в составе твердого раствора замещения от концентрации соли кадмия в реакционной смеси [8], было осуществлено соосаждение сульфидов свинца и кадмия при варьировании содержания соли кадмия в указанных выше пределах с использованием в составе реакционной ванны растворов ацетата свинца I, II и III. Полученные пленки имели толщину  $300-500\,\mathrm{hm}$ .

При анализе рентгенограмм осажденных слоев в них была обнаружена только кубическая фаза PbS со структурой B1. Уменьшение его периода решетки в случае совместного осаждения сульфидов объясняется замещением ионов свинца с радиусом 0,120 нм в решетке PbS на ионы кадмия, имеющие меньший радиус 0,097 нм [1], и было интерпретировано нами как образование твердых растворов замещения  $Cd_*Pb_{1-x}S$ .

Сравнительные данные по содержанию сульфида кадмия в твердом растворе  $\mathrm{Cd}_x\mathrm{Pb}_{1-x}\mathrm{S}$ , полученные с использованием значения псевдокубической решетки  $\mathrm{CdS}$  ( $a_{\mathrm{CdS}}=0,5516$  нм) [14] при включении в состав реакционной смеси растворов солей свинца (I, II, III) в зависимости от концентрации хлорида кадмия, представлены на рис. 2. На всех трех кривых наблюдаются характерные точки экстремума. Из рисунка видно, что если в контрольном опыте максимальное содержание  $\mathrm{CdS}$  в составе твердого раствора составило 3,0 мол. %, то при использовании предварительно нагретого раствора ацетата свинца

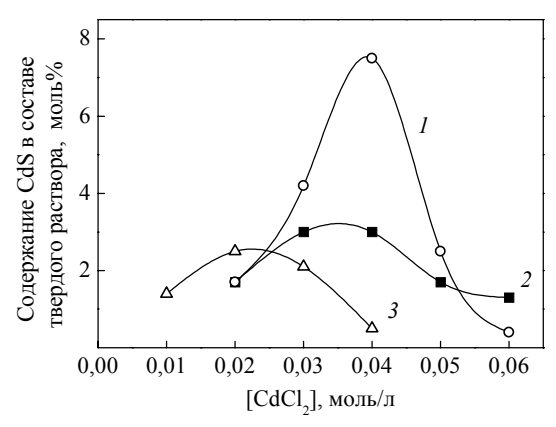


Рис. 2. Содержание сульфида кадмия в твердом растворе  $\operatorname{Cd}_x\operatorname{Pb}_{1-x}\operatorname{S}$  в зависимости от концентрации соли  $\operatorname{CdCl}_2$  в реакционной смеси, содержащей подвергнутый предварительной температурной обработке раствор ацетата свинца: нагрев (1), контрольный опыт (2), охлаждение (3). Состав реакционной смеси, моль/л:  $[\operatorname{Pb}(\operatorname{CH}_3\operatorname{COO})_2] = 0.02$ ,  $[\operatorname{Na}_3\operatorname{C}_6\operatorname{H}_5\operatorname{O}_7] = 0.1$ ;  $[\operatorname{NH}_4\operatorname{OH}] = 3.0$ ;  $[\operatorname{CS}(\operatorname{NH}_2)_2] = 0.6$ . Температура синтеза — 303 К. Время синтеза — 23 часа.

оно достигло 7,5 мол. % и снизилось до 2,5 мол. % при предварительном охлаждении раствора соли. Выявленные различия весьма значительны и намного превосходят возможную ошибку определения состава  $\pm$  0,4 мол. %. Полученные твердые растворы следует отнести к сильно пересыщенным [4]. Следует отметить, что осажденные пленки помимо твердого раствора  $\mathrm{Cd}_x\mathrm{Pb}_{1-x}\mathrm{S}$  со структурой B1 по результатам сопоставления данных элементного и рентгеновского анализов содержат рентгеноаморфный сульфид кадмия в количестве от  $\sim$ 2 до  $\sim$ 27 мол. %.

Пленки, осажденные при использовании предварительно нагретого раствора соли свинца, содержат только фазу твердого раствора  $\mathrm{Cd}_x\mathrm{Pb}_{1-x}\mathrm{S}$ , синтез, проведенный с использованием предварительно охлажденного ацетата свинца, помимо образования твердого раствора способствует включению в состав слоя до 27 % аморфного CdS.

Различия в содержании сульфида кадмия в пленках твердого раствора сопровождаются изменениями

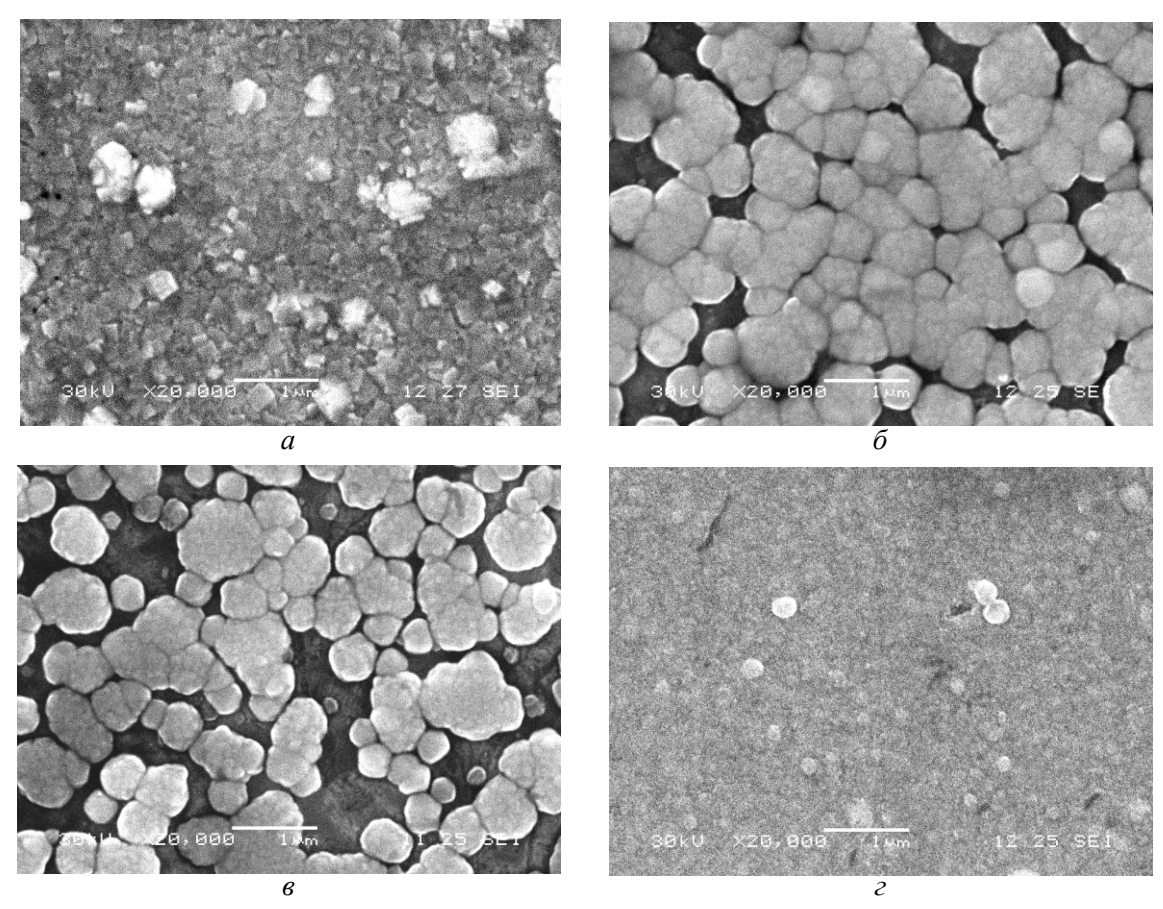


Рис. 3. Микрофотографии пленок: PbS (a),  $Cd_{0.059}Pb_{0.941}S$  полученной в контрольном опыте ( $\delta$ ),  $Cd_{0.075}Pb_{0.925}S$  — при предварительном нагреве раствора ацетата свинца (a),  $Cd_{0.005}Pb_{0.995}S$  — при предварительном охлаждении раствора ацетата свинца (z). Пленки PbS и  $Cd_{0.075}Pb_{0.928}S_{0.987}$  однофазны; пленка  $Cd_{0.059}Pb_{0.941}S_{0.987}$  содержит ~97 мол. % кубического твердого раствора  $Cd_{0.03}Pb_{0.97}S$  и ~3 мол. % аморфного CdS; пленка  $Cd_{0.273}Pb_{0.727}S_{0.981}$  содержит ~73 мол. % кубического твердого раствора  $Cd_{0.005}Pb_{0.995}S$  и ~27 мол.% аморфного CdS.

и в их морфологии. Результаты электронномикроскопических исследований слоев  $Cd_xPb_{1-x}S$ , полученных с различной температурной предысторией соли свинца, представлены на рис. 3. Осажденные слои во всех экспериментальных сериях формируются из сферических частиц, у которых не наблюдается четкой огранки кристаллов. Средний размер кристаллитов составил 0,92 мкм для пленок  $Cd_{0,059}Pb_{0,941}S_{0,987}$  (использование раствора соли свинца III), 0,69 мкм для  $Cd_{0,075}Pb_{0,925}S_{0,978}$  (использование раствора соли свинца I) и 0,38 мкм для  $Cd_{0,273}Pb_{0,727}S_{0,981}$  (использование раствора соли свинца II).

Интересно, что максимальный размер микрокристаллов имеют слои, осажденные в контрольном опыте, а минимальный — пленки, полученные из реакционной смеси, содержащей предварительно охлажденный раствор ацетата свинца. Это, в первую очередь, является следствием различных условий зародышеобразования, вызванных изменением состава и структуры частиц свинца в растворе в результате испытанных воздействий.

#### Выводы

- 1. Исследованы кинетические особенности образования твердой фазы сульфида свинца из реакционных смесей, содержащих водный раствор ацетата свинца, подвергнутый предварительным охлаждению до 275 К и нагреву до 353 К.
- 2. Гидрохимическим соосаждением сульфидов свинца и кадмия при температуре 303 K получены тонкие пленки пересыщенных твердых растворов  $Cd_xPb_{1-x}S$  (0,005  $\leq x \leq$  0,075).
- 3. Установлено влияние предварительной температурной обработки водного раствора ацетата свинца на состав  $\mathrm{Cd}_x\mathrm{Pb}_{1-x}\mathrm{S}$ : с изменением температуры обработки с 275 до 368 K максимальное содержание CdS в составе твердого раствора увеличивается с 2,5 до 7,5 мол. %.
- 4. Характер предварительного температурного воздействия на раствор соли свинца, используемый для гидрохимического осаждения пленок  $\mathrm{Cd}_x\mathrm{Pb}_{1-x}\mathrm{S}$ , оказывает влияние на их морфологию, изменяя средний размер кристаллитов в пределах 0,38-0,92 мкм.

Работа выполнена при поддержке гранта  $P\Phi\Phi U № 06-03-08103-офи.$ 

# Литература

- 1. Макаров Е.С. Изоморфизм атомов в кристаллах. М.: Атомиздат. 1973, 288 с.
- Bethke P.M., Barton P.B. Sub solids relations in the system PbS - CdS. Amer. Miner., 1971, v. 56, no. 11 - 12, p. 2034 - 2039.
- Calawa A.R., Mroczkowski J.A., Harman T.C. Preparation and properties of Cd<sub>x</sub>Pb<sub>1-x</sub>S. J. Electron. Mat., 1972, v. 1, p. 191 – 201.
- Олейник Г.С., Мизецкий Г.А., Низкова А.И. Фазовая диаграмма системы PbS – CdS. Изв. АН СССР. Неорган. материалы, 1983, т. 19, № 11, с. 1799 – 1801.
- 5. Урусов В.С., Таусон В.Л., Акимов В.В. Геохимия твердого тела. М.: ГЕОС, 1997, 500 с.
- 6. Китаев Г.А. О возможности получения смешанных соединений халькогенидов металлов химическим способом. Химия и физика халькогенидов. Свердловск, 1977, с. 107 110.
- 7. Китаев Г.А., Марков В.Ф., Маскаева Л.Н. Синтез и исследование пленок твердых растворов  $Cd_x Pb_{1-x} S$  различного состава. Изв. АН СССР. Неорган. материалы, 1990, т. 26, № 2, с. 248 250.
- 8. Марков В.Ф., Маскаева Л.Н., Китаев Г.А. Прогнозирование состава твердых растворов замещения  $\operatorname{Cd}_x\operatorname{Pb}_{1-x}\operatorname{S}$  при химическом осаждении из водных растворов. Неорганические материалы, 2000, т. 36,  $\operatorname{Ne} 12$ , с. 1421-1423.
- 9. Залепухин И.Д., Залепухин В.Д. Физико-химические аспекты реакции водных систем на физические воздействия. Л.: Тр. Ленинград. Агрофизич. научно-исслед. ин-та, 1979, с. 178 181.
- 10. Петухова Т.А., Марков В.Ф., Маскаева Л.Н., Воронин В.И. Температурная "память" водного раствора соли свинца: кинетика осаждения, структура и свойства пленок РbS. Поверхность. Рентгеновские, синхротронные и нейтронные исследования. 2007, № 2, с. 110 112.
- 11. Марков В.Ф., Маскаева Л.Н., Иванов П.Н. Расчет условий образования твердой фазы халькогенидов металлов при гидрохимическом осаждении. Ж. Конденсированные среды и межфазные границы, 2004, т. 6, № 4, с. 374 380.
- 12. Юсупов Р.А., Михайлов О.В. Глубокий ионный обмен в металлсульфидных имплантантах. Казань: Фэн, 2004, 220 с.
- 13. Слейбо У., Персон Т. Общая химия. М.: Мир, 1979, 555 с.
- 14. Чичагов А.В., Сипавина Л.В. Параметры ячеек твёрдых растворов. Справочник. М.: Наука, 1982, 171 с.

**Маскаева Лариса Николаевна** — Уральский государственный технический университет (г. Екатеринбург), доктор химических наук, профессор. Специалист в области физической и коллоидной химии.

**Марков Вячеслав Филиппович** — Уральский государственный технический университет (г. Екатеринбург), доктор химических наук, профессор, заведующий кафедрой. Специалист в области физической и коллоидной химии.

**Морозова Ирина Михайловна** — Уральский государственный технический университет (г. Екатеринбург), аспирант.

**Полюдова Наталья Сергеевна** — Уральский государственный технический университет (г. Екатеринбург), студентка.